

Obr. 1

Pohled na okluzi horního oblouku.

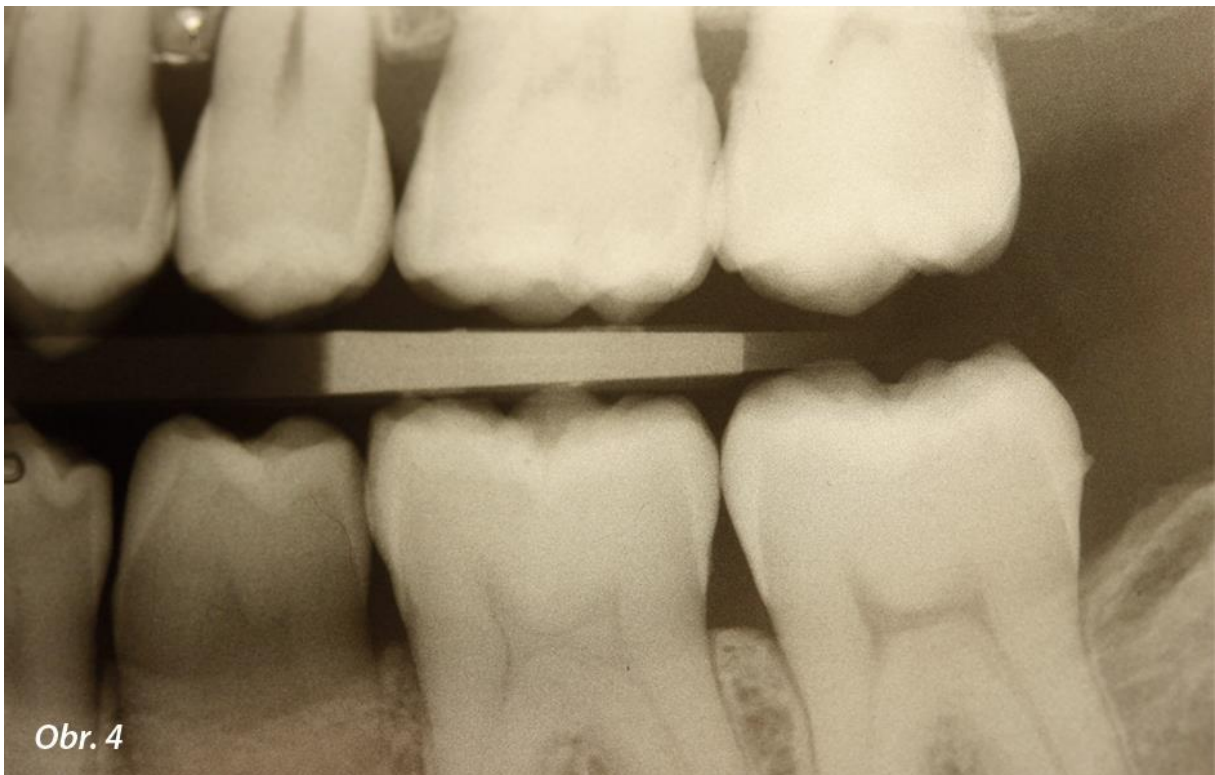


Obr. 2

Pohled na okluzi dolního oblouku.



RTG snímek typu bitewing pravého úseku.



RTG snímek typu bitewing levého úseku.



Obr. 5

Pohled na okluzi zubů 16, 17.



Obr. 6

Izolace pracovního pole.



Preparace kavity zubů 16, 17.



Dokončené výplně.



Obr. 9

Zuby 14, 15 zasažené zubním kazem.



Obr. 10

Izolace pracovního pole a preparace kavity.



Obr. 11

Zhotovené výplně.



Obr. 12

Zuby 27, 26 zasažené lézemi.



Obr. 13

Výplň v zubu 25.

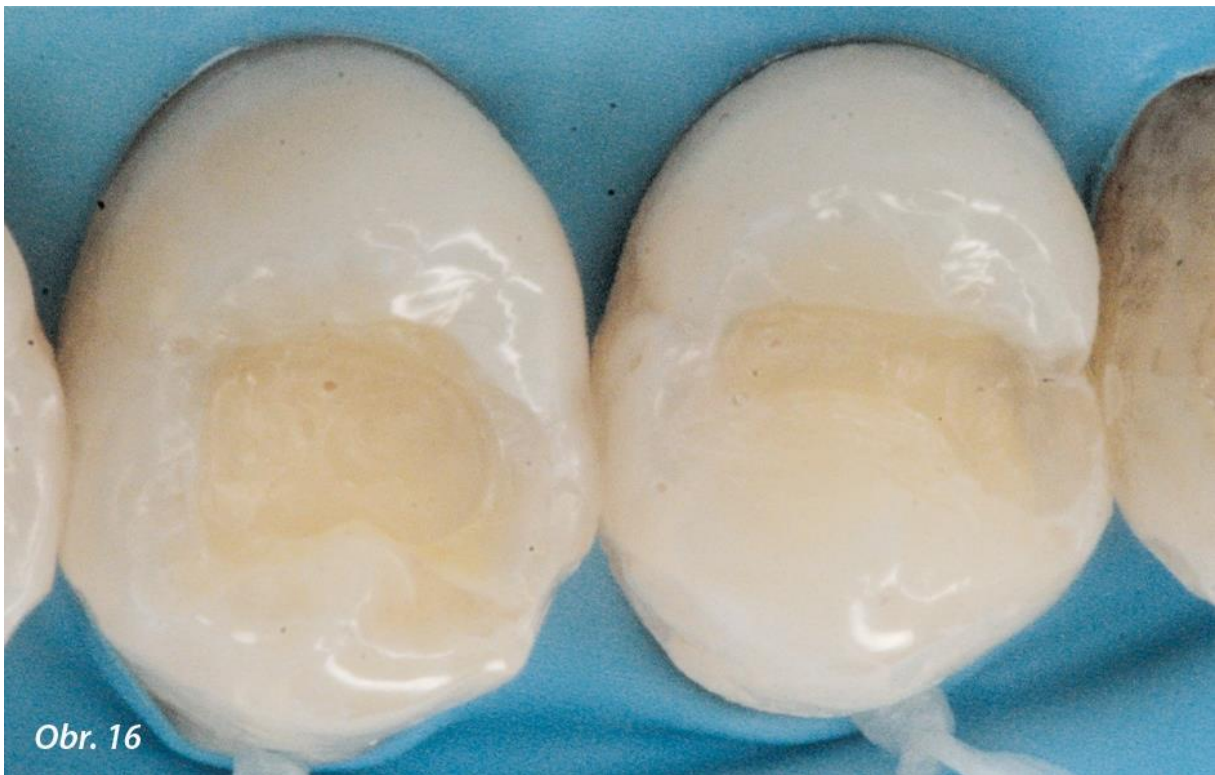


Obr. 14

Izolace 2. kvadrantu koferdamem.



Preparace kavit.



Preparace kavit.



Obr. 17

Zhotovené výplně.



Obr. 18

Zhotovené výplně.



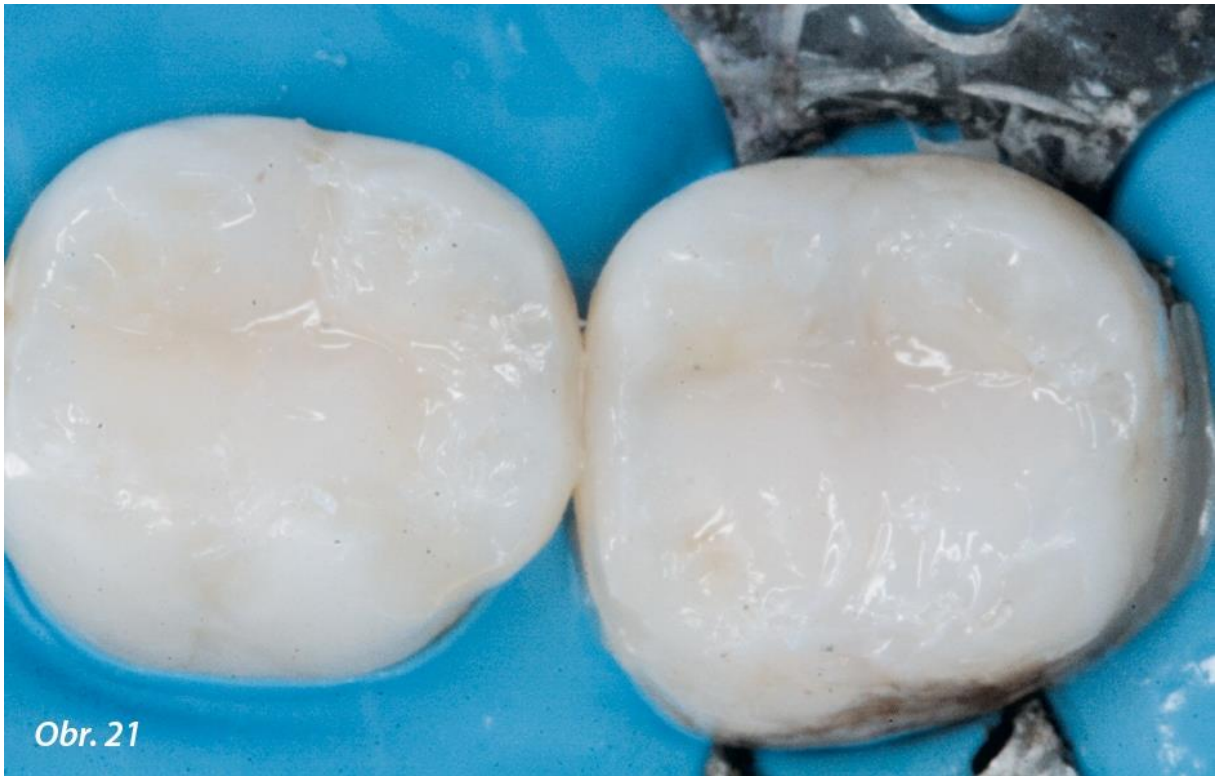
Obr. 19

Výplň v zubu 37 a subgingivální kaz u zubu 36.



Obr. 20

Izolace pracovního pole.



Obr. 21

Výplně.



Obr. 22

Výsledný pohled na výplně.



Obr. 23

Pohled na okluzi zubů 46, 47.



Obr. 24

Izolace pracovního pole.



Obr. 25

Izolace zubů 45, 44.



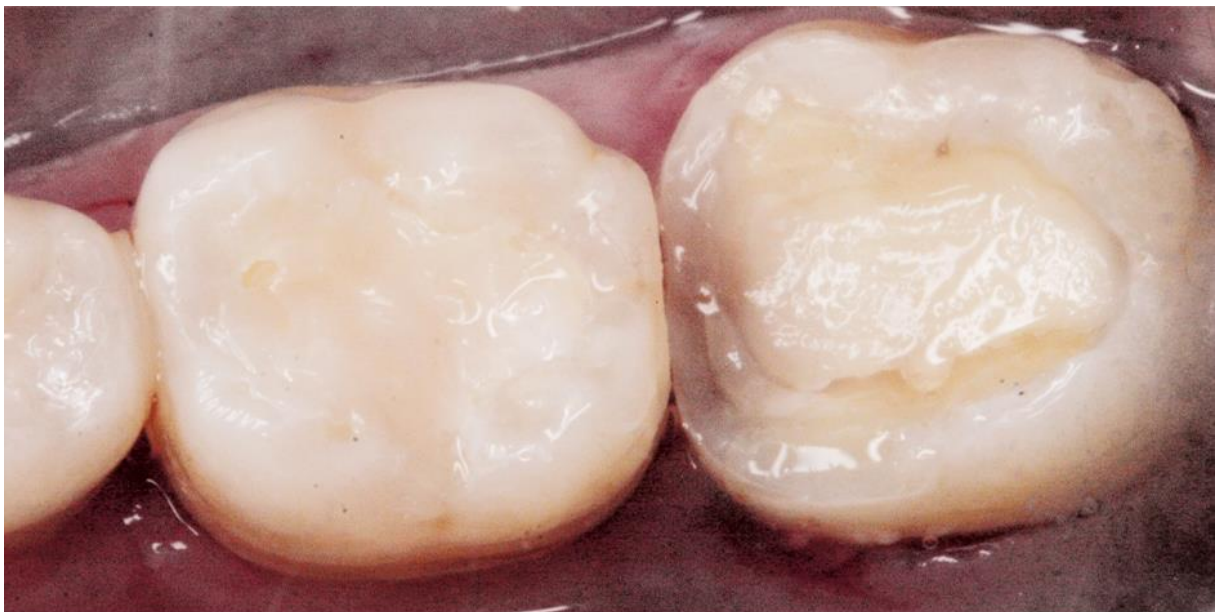
Obr. 26

Preparace kavity.



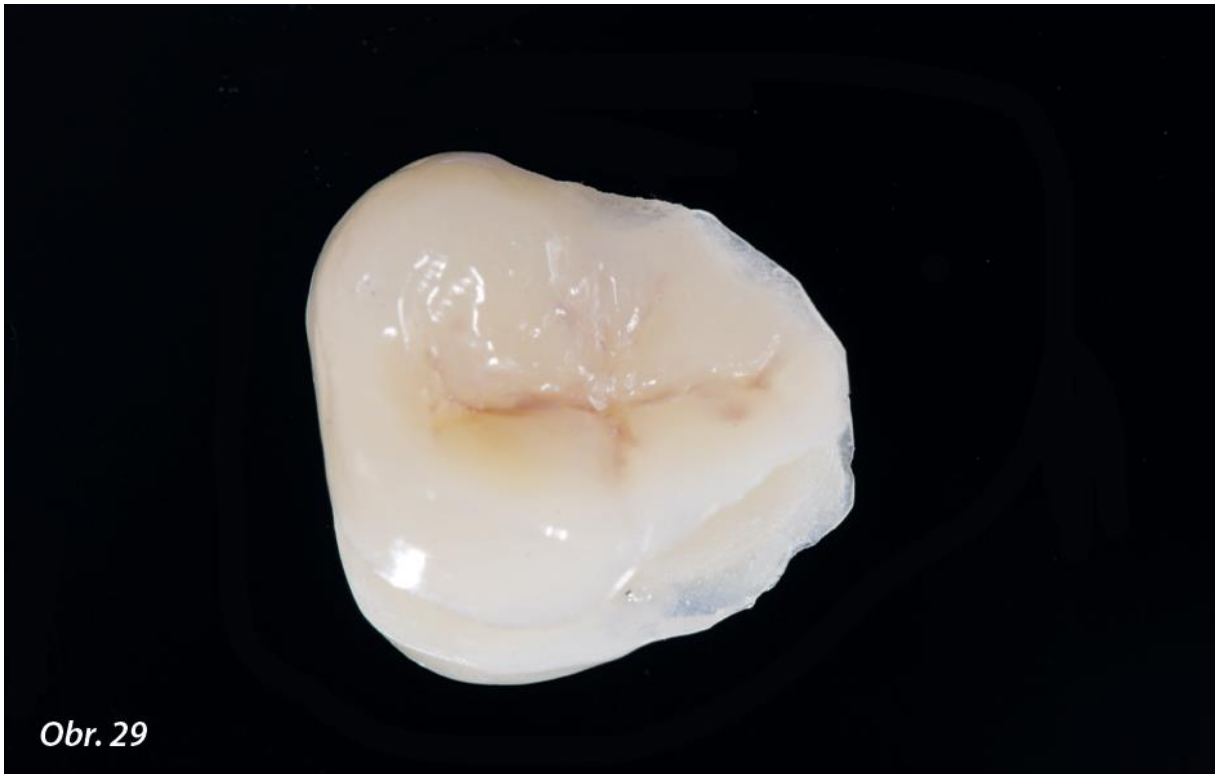
Obr. 27

Zhotovení výplně.



Obr. 28

Dostavba zubu 47.



Obr. 29

Zhotovená inlej.



Obr. 30

Cementování nepřímé náhrady.



Redakční poznámka: Seznam použité literatury je k dispozici u autorky. Článek byl publikován v italském vydání časopisu cosmetic dentistry – beauty & science, Vol. 13, Issue 1/2019.